

# مدل دینامیکی رتبه کاسته POD اصلاح شده برای شبیه‌سازی

## جريان‌های ناپایای تراکم‌ناپذیر

محمد طبیبی رهنی<sup>۳</sup>

دانشکده مهندسی هوافضا

دانشگاه آزاد اسلامی، واحد علوم و تحقیقات

فریدون ثابت‌قدم<sup>۲</sup>

دانشکده مهندسی مکانیک و هوافضا

دانشگاه آزاد اسلامی، واحد علوم و تحقیقات

(تاریخ دریافت: ۸۹/۰۸/۱۷؛ تاریخ پذیرش: ۹۰/۰۵/۰۳)

محمد کاظم مؤبدی<sup>۱</sup>

گروه مهندسی مکانیک

دانشگاه قم

### چکیده

در این مقاله، از روش رتبه کاسته تجزیه متعامد بهینه جهت شبیه‌سازی میدان‌های جریان ناپایای تراکم‌ناپذیر استفاده شده است. معادلات حاکم بر جریان پس از تصویرسازی در راستای مودهای جریان منجر به ایجاد یک سامانه دینامیکی رتبه کاسته می‌شوند. از آنجا که معمولاً مدل‌های رتبه کاسته متداول، به دلیل‌های گوناگونی، پیش‌بینی دقیقی از تغییرات زمانی میدان جریان ندارند، دقت سامانه دینامیکی حاکم با استفاده از یک ترم اصلاح خطی افزایش داده شده است. روش مذکور ترکیبی از روش تجزیه متعامد بهینه همراه با حل یک مسئله بهینه‌سازی با استفاده از روش کمترین مرباعات است. حاصل آن یک مدل رتبه کاسته خواهد شد که می‌تواند با دقتی مناسب و با سرعتی بالا تغییرات زمانی میدان جریان را پیش‌بینی کند. این روش بر اساس یک تکنیک کمینه‌سازی محلی است که توسط این نویسنده‌گان ارائه شده است. نتیجه‌های حاصل از مدل رتبه کاسته حاضر با شبیه‌سازی‌های حاصل از حل عددی مستقیم مقایسه شده که دقت و سهوالت چشم‌گیری را در محاسبات نشان می‌دهد.

**واژه‌های کلیدی:** جریان ناپایای، روش تجزیه متعامد بهینه، مدل رتبه کاسته اصلاح شده، تصویرسازی گالرکین

### Calibrated Low-dimensional POD Dynamical Model for Simulation of Unsteady Incompressible Flows

M.K. Moayyedi

Dep't. of Mech. Eng.

Univ. of Qom

F. Sabetghadam

Dep't. of Mech. and Aerospace Eng.

Sci. and Research Branch  
Islamic Azad Univ.

M. Taeibi-Rahni

Dep't. of Aerospace Eng.

Sharif Univ. of Tech.

(Received: 8 Nov., 2010; Accepted: 25 July, 2011)

### ABSTRACT

In this paper, reduced order proper orthogonal decomposition method has been used for simulation of unsteady incompressible flow fields. After projection of the governing equations along POD modes, a low-dimensional dynamical system is achieved. Normally, standard low-dimensional models, due to some reasons, do not predict time variations of flow field accurately. Accuracy of dynamical system has been improved by using a linear calibration term. The presented method is based on combination of POD and an optimization problem, which is solved using least square approach. The obtained reduced order model can predict time variations of flow field with relatively fast computational speed and good accuracy. This method is based on a local minimization technique proposed by these authors. The results have been compared with direct numerical simulation (DNS) data and shows good accuracy and simplicity of the computations.

**Keywords:** Unsteady Flow, Proper Orthogonal Decomposition, Calibrated Low-dimensional Model, Galerkin Projection

۱- استادیار (نویسنده پاسخگو): moayyedi@alum.sharif.edu

۲- استادیار: fsabet@srbiau.ac.ir

۳- استاد: taeibi@sharif.edu

جريان است. این موضوع می‌تواند ناشی از جمله عدم انتخاب مناسب نمایه‌ها، دقت پایین حل عددی و یا ناتوانی سامانه دینامیکی در کاهش سطح انرژی مودهای پرانرژی تر باشد. در این خصوص روش‌هایی جهت افزایش دقت سامانه‌های دینامیکی پیشنهاد شده که از جمله می‌توان به روش فاویر<sup>۸</sup> و همکارانش [۹] اشاره کرد. آنها با استفاده از حل یک مسئله بهینه‌سازی و ترکیب آن با معادلات حاکم، به جواب‌های مناسبی دست یافتند. همچنین با استفاده از حل همزمان مسئله بهینه‌سازی و یک مسئله کمکی<sup>۹</sup> پاسخ زمانی سامانه دینامیکی حاکم بر مسائلی که فیزیک پیچیده‌تری دارند را نیز دقیق‌تر به دست آورندند. کاپلت<sup>۱۰</sup> از چند روش مختلف که همگی بر اساس حل یک مسئله بهینه‌سازی بود، به منظور بهبود بخشیدن پاسخ سامانه دینامیکی حاکم برای مسائل دو و سه بعدی مورد نظر استفاده کرد [۱۰]. نواک<sup>۱۱</sup> نیز از ترم اصلاح<sup>۱۲</sup> که به منظور افزایش دقت سامانه دینامیکی به کار می‌رود، به عنوان جایگزینی برای ترم فشار حذف شده در معادله سامانه دینامیکی استفاده کرد [۱۱]. در این مقاله، هدف استفاده از این روش برای مدل‌سازی میدان جريان ناپایا است. روندی که در این پژوهش به کار گرفته شده و فرم جدید آن توسط این نویسنده‌گان ارائه شده، ترکیب روش تجزیه متعامد بهینه همراه با حل یک مسئله بهینه‌سازی است ولی مسئله کمینه‌سازی به صورت محلی و به منظور محاسبه ترم اصلاح حل خواهد شد.

## ۲- مدل‌سازی رتبه کاسته

تعریف متفاوتی وابسته به مفهوم و موضوع از مدل‌سازی رتبه کاسته وجود دارد. در اصل مدل‌سازی رتبه کاسته در حوزه سیستم و تئوری کنترل توسعه داده شده است که در رابطه با ویژگی‌های سامانه‌های دینامیکی و کاربرد روش‌های کاهش مرتبه به منظور کاهش پیچیدگی‌های مسئله با حفظ رفتار ورودی و خروجی آنها بحث می‌کند. امروزه بحث مدل‌سازی رتبه کاسته به عنوان یک موضوع پژوهشی جذاب در مباحث سیستم، کنترل و تحلیل‌های عددی مطرح است.

8- Favier

9- Adjoint

10- Couplet

11- Noack

12- Calibration

## ۱- مقدمه

روش تجزیه متعامد بهینه<sup>۱</sup> کاربردهای وسیعی در توسعه مدل‌های رتبه کاسته<sup>۲</sup>، پردازش تصاویر و بازسازی داده‌ها و ساختارها دارد. این روش با محاسبه یک مجموعه از بردارهای پایه که می‌توانند ساختارهای پرانرژی سیستم را تسخیر کنند، آغاز شده است. در صورت انتقال معادلات حاکم به فضای برداری تشکیل شده از این بردارهای پایه، می‌توان با کمک آن دینامیک حاکم بر میدان را با تعداد ابعاد کمتر و با دقتی مناسب بازسازی کرد. در یک تعریف کلی باید گفت این روش یک دستگاه مختصات  $n$  بعدی متعامد ایجاد می‌کند که نسبت به همه دستگاه‌های مختصات متعامد  $n$  بعدی دیگری که برای توصیف دسته نمایه از یک میدان مفروض می‌تواند مورد استفاده قرار گیرند، تقریب بهتری از سامانه‌های دینامیکی با ترتیب می‌توان توصیفی رتبه کاسته از میدان مفروض می‌دانند. بدین بعد بی‌نهایت ارائه کرد که با تعداد جملات معلوم بهینه باشد. البته، لازم به ذکر است که این بهینگی از دید بازیافت انرژی در مدل رتبه کاسته است. این روش ابتدا و به صورت مستقل توسط کارهون<sup>۳</sup> و لوو<sup>۴</sup> به عنوان روشهای جهت تحلیل داده‌های آماری که دارای نوعی الگو<sup>۵</sup> بودند، مطرح شد [۱۱]. با مطرح شدن روش نمایه توسط سیرویش<sup>۶</sup>، این روش به عنوان ابزاری کارآمد به منظور ایجاد مدل‌های رتبه کاسته برای سامانه‌های دینامیکی پیچیده‌ای که داده‌هایی از تجربه و یا حل‌های عددی مستقیم دارند، نمایان شد. استفاده از روش POD - نمایه<sup>۷</sup> در تحلیل و بازسازی میدان‌های جريان پایا و ناپایا تاکنون با موفقیت‌های بسیاری انجام گرفته است [۲-۶].

استفاده از این روش به منظور مدل‌سازی جريان‌های ناپایا با رویکرد سامانه دینامیکی اخیراً مورد توجه بسیاری قرار گرفته، اما مشکلاتی نیز در توسعه این مدل‌ها وجود داشته است. از جمله مسائلی که بسیاری از کارهای پژوهشی با آن مواجه بوده، عدم دستیابی به نتیجه‌های مطلوب یا به عبارتی ناتوانی سامانه دینامیکی در پیش‌بینی دقیق تغییرات زمانی

1- Proper Orthogonal Decomposition (POD)

2- Low-dimensional

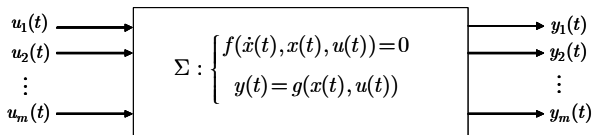
3- Karhunen

4- Loeve

5- Pattern

6- Sirovich

7- Snapshot



شکل (۱): نمایی از یک سامانه دینامیکی مفروض با ورودی و خروجی معلوم.

در نتیجه پیچیدگی این سیستم با تعداد متغیرهای حالت آن مشخص خواهد شد (به عنوان مثال  $n$  بعد برای بردار فضای حالت). معادله (۱) به صورت زیر نیز قابل بازنویسی خواهد بود:

$$F\left(\frac{dx}{dt}, x, u\right) = 0. \quad (2)$$

بنابراین، مدل سازی رتبه کاسته می تواند به صورت کاهش ابعاد بردار فضای حالت مطرح شده باشد، در حالی که خصوصیات رابطه بین ورودی و خروجی حفظ شود. به بیان دیگر، یک سامانه دینامیکی جدید به صورت زیر به دست خواهد آمد:

$$\frac{d\hat{x}}{dt} = \hat{f}(\hat{x}, u), \quad (3)$$

$$y = \hat{g}(\hat{x}, u).$$

به طوری که ابعاد  $\hat{x}$  خیلی کمتر از  $n$  (ابعاد بردار فضای حالت اصلی) خواهد بود. به طور کلی یک مدل رتبه کاسته باید دارای ویژگی های زیر باشد:

۱. ویژگی های سامانه دینامیکی اصلی با یک تقریب کم حفظ شود (مانند پایداری)،
۲. روند کاهش مرتبه بایستی از نظر محاسباتی کارا باشد و
۳. بازسازی یک مدل که بتواند بهترین تقریب را از سامانه دینامیکی اصلی داشته باشد (میزان خطای کم باشد).

### - مدل دینامیکی رتبه کاسته بر پایه روش POD گالرکین

هنگامی که توابع ویژه یا همان مودهای جریان، معادله پیوستگی را ارضاء کنند، معادلات حاکم بر دینامیک جریان تراکم‌ناپذیر به معادلات ممتدوم کاهش می‌یابد، که این معادلات در فرم برداری و بی‌بعد به صورت زیر هستند:

$$\frac{D\mathbf{u}}{Dt} = -\nabla p + \frac{1}{R_e} \nabla^2 \mathbf{u}. \quad (4)$$

مبانی اولیه روش های کاهش مرتبه در ریاضیات به کار فوریه<sup>۱</sup> در سال ۱۸۰۷ برمی‌گردد که ایده تقریب یک تابع با بهره‌گیری از توابع مثلثاتی را مطرح کرد. در مسائل جبرخطی لانکوز<sup>۲</sup> مسئله کاهش مرتبه یک ماتریس به یک فرم سه‌قطري سه‌قطري را مطرح کرد. بعدها آرنولدی<sup>۳</sup> بی‌برد که می‌توان یک ماتریس را با استفاده از یک ماتریس کوچک‌تر و با تقریب مناسب از ماتریس اصلی تخمین زد. روش‌های اساسی در مدل‌سازی رتبه کاسته در دهه ۸۰ و ۹۰ قرن پیش معرفی شدند. در این خصوص می‌توان به روش متوازن‌سازی اشاره کرد که توسط مور<sup>۴</sup> در سال ۱۹۸۱ پیشنهاد شد یا گلوور<sup>۵</sup> که مقالات مشهوری در زمینه کاهش نرم هنکل<sup>۶</sup> چاپ کرد و در نهایت در سال ۱۹۸۷ روش تجزیه متعامد بهینه توسط سیرویش مطرح شد. برای فهم دقیق از مدل سازی رتبه کاسته نیاز به فهم دقیق از مدل‌های توسعه یافته در علوم محاسباتی شامل معادلات دیفرانسیلی با مشتقات جزئی و معمولی و با شرایط مرزی مناسب است. مثال‌هایی مهم از این معادلات شامل معادلات ناوبری- استوکس در دینامیک سیالات و معادلات ماکسول در الکترومغناطیس است. هنگامی که معادلات دیفرانسیلی با مشتقات جزئی برای تشریح رفتار یک سیستم به کار می‌روند اغلب به صورت معادلاتی با متغیرهای مستقل زمانی و مکانی مطرح می‌شوند که پس از جداسازی مکانی به صورت یک سیستم معادلات دیفرانسیلی معمولی در زمان به دست خواهند آمد. در نتیجه بررسی‌ها تنها بر روی این سیستم معادلات محدود شده است که به صورت یک سامانه دینامیکی با ابعاد محدود خواهد بود و به صورت زیر نشان داده می‌شود:

$$\begin{aligned} \frac{dx}{dt} &= f(x, u), \\ y &= g(x, u). \end{aligned} \quad (1)$$

در این معادله،  $u$  ورودی،  $y$  خروجی و  $x$  متغیر حالت سیستم است. بنابراین سامانه دینامیکی به صورت یک سیستم ورودی- خروجی نمایش داده می‌شود (شکل (۱)).

1- Fourier

2- Lanczos

3- Arnoldi

4- Moore

5- Glover

6- Hankel Norm

## ۲-۲- اصلاح سامانه دینامیکی با استفاده از مدل خطی گذرا

مدل‌های رتبه کاسته استاندارد، که از تصویرسازی معادلات حاکم بر دینامیک سیال در راستای مودهای POD حاصل می‌شوند، ممکن است دقت بالایی در پیش‌بینی تغییرات زمانی میدان جریان نداشته باشند. این موضوع می‌تواند ناشی از دلیل‌های زیر باشد:

۱. عدم وجود رابطه‌ای مستقیم بین ضرایب مودال حاصل از میدان سرعت با میدان فشار و در نتیجه تقریب حذف اثرات ترم فشار،

۲. ناپایداری‌های ناشی از حذف مودهای با اعداد موج بالا و دقت پایین نمایه‌های ورودی که در نتیجه معادلات بقاء را به طور کامل ارضاء نخواهند کرد.

در نتیجه، به منظور بهبود پیش‌بینی زمانی مدل رتبه کاسته، یک ترم خطی به صورت زیر به معادله سامانه دینامیکی اضافه می‌شود:

$$\frac{d\mathbf{a}^k}{dt} = \mathbf{A}_{kij}\mathbf{a}^i\mathbf{a}^j + (\mathbf{B}_{ki} + \mathbf{B}'_{ki})\mathbf{a}^i + \mathbf{C}_k. \quad (8)$$

ترم اضافه شده فوق، که ترم اصلاح نامیده می‌شود، به منظور افزایش دقت سامانه دینامیکی به کار می‌رود و در مرجع [۱۱] از آن به عنوان جایگزینی برای ترم فشار نامبره شده است. همان‌طور که اشاره شد، ترم فشار پس از تصویرسازی معادلات حاکم در راستای مودهای جریان، در صورت بقایی<sup>۴</sup> بودن مودها و وجود شرایط مرزی همگن و با توجه به رابطه انتگرال گوس حذف خواهد شد. ولی مشکلی که گاهی اوقات به وجود می‌آید این است که به دلیل شرایط موجود در مسئله عبارت فشار قبل حذف نبوده و این می‌تواند به این دلیل باشد که مودهای جریان معادله پیوستگی را ارضاء نکرده است و یا توزیع فشار روی مرزهای میدان به گونه‌ای است که اثرات آن قابل صرف‌نظر نیست. بنابراین در این شرایط می‌بایست ترم فشار به‌نحوی محاسبه یا جایگزین شود، که در غیر این صورت بقای موجود در معادلات ممتد از بین خواهد رفت. همچنین ترم اصلاح می‌تواند مانند یک عبارت استهلاکی در معادله حاکم بر مدل دینامیکی عمل کند و اثرات مودهای پرانرژی را که گاهی سامانه دینامیکی توانایی کاهش سطح انرژی آنها را

بردارهای سرعت به صورت حاصل جمع یک بخش متوسط‌گیری<sup>۱</sup> شده زمانی و یک بخش اغتشاشی<sup>۲</sup> به صورت زیر نوشته می‌شود:

$$\mathbf{u} = \bar{\mathbf{u}} + \mathbf{u}', \quad (5)$$

که در آن، ترم اول بخش متوسط بوده که به صورت یک میانگین از تغییرات زمانی بردارهای سرعت است و بخش دوم ترم اغتشاشی است که با استفاده از بسط مودهای جریان به صورت زیر نوشته می‌شود:

$$\mathbf{u}'(\vec{x}, t) = \sum_{i=1}^N \mathbf{a}^i(t) \phi_i(\vec{x}), \quad (6)$$

به طوری که:

$$\phi_i(\vec{x}) = \begin{cases} \varphi_i^u(\vec{x}) \\ \varphi_i^v(\vec{x}) \end{cases}, \quad \mathbf{a}^i(t) = \begin{cases} a^i(t) & 0 \\ 0 & b^i(t) \end{cases}.$$

در روابط فوق،  $a^i(t)$  ضریب مودال،  $\varphi_i^u(\vec{x})$  شکل مود متناسب با معادله ممتد در جهت x و  $\varphi_i^v(\vec{x})$  و  $b^i(t)$  به ترتیب ضریب مودال و شکل مود متناسب با معادله ممتد در جهت y است.

## ۳-۱- تصویرسازی گالرکین و معادله سامانه دینامیکی

با بازنویسی معادلات تراکم‌ناپذیر ناویر- استوکس، با استفاده از روابط (۴-۵) و با فرض اینکه مشتق زمانی مقادیر بخش متوسط‌گیری شده صفر باشد (ایستگاهی<sup>۳</sup>)، روابط جدیدی حاصل خواهد شد. اگر معادلات حاصل در راستای مودهای جریان تصویر شوند، یک دسته معادله دیفرانسیلی مرتبه اول بر حسب زمان برای ضرایب مودال به دست می‌آید که سامانه دینامیکی نامیده شده و به صورت زیر است:

$$\frac{d\mathbf{a}^k}{dt} = \mathbf{A}_{kij}\mathbf{a}^i\mathbf{a}^j + \mathbf{B}_{ki}\mathbf{a}^i + \mathbf{C}_k. \quad (7)$$

معادلات فوق به منظور محاسبه تغییرات زمانی ضرایب مودال می‌بایست حل شده تا ضرایب حاصل برای بازسازی میدان جریان با استفاده از رابطه (۵) به کار روند. لازم به ذکر است که در این پژوهش از روش رانج-کوتای مرتبه چهار به منظور انتگرال‌گیری زمانی معادله سامانه دینامیکی استفاده شده که روش دقیقی جهت حل مسئله‌های وابسته به زمان است.

1- Mean

2- Fluctuation

3- Stationary

اندازه کافی کوچک بوده است و سامانه دینامیکی رفتار نسبتاً پایداری را نشان می‌دهد. مشتقات زمانی به کار رفته برای مسئله کمینه‌سازی نیز با استفاده یک روش با دقت مرتبه چهارم محاسبه شده‌اند.

**۴-۳- بازسازی سامانه دینامیکی رتبه کاسته**  
رونده طبیعی در یک مدل رتبه کاسته به این صورت است که با افزایش تعداد مودها تقریب حاصل از دقت نزدیکتری به حل اصلی برخوردار می‌شود. اما با دقت در نمودار توزیع انرژی مودهای جریان (شکل ۵) این نکته به وضوح دیده می‌شود که با تعداد کمتری از مودها می‌توان سهم بالایی از انرژی موجود در میدان را تسخیر کرد و این بدین معنی است که با روش تشریح شده می‌توان به یک مدل رتبه کاسته دست یافت. بدین منظور و برای محاسبه تعداد مودهایی که درصد انرژی بالاتری را تسخیر می‌کنند، عددی به نام عدد سهم<sup>۱</sup> به صورت زیر

تعريف می‌شود:

$$\kappa = \frac{\sum_{i=1}^{N_g} \lambda_i}{\sum_{i=1}^{N_{total}} \lambda_i}, \quad (10)$$

که در آن،  $\lambda$  مقادیر ویژه حاصل از حل مسئله مقدار ویژه برای ماتریس داده‌ها است. هرگاه مقدار  $\kappa$  برابر با  $99.9\%$  شد آن‌گاه  $N_g$  تعداد مودهای مورد نیاز برای ایجاد مدل رتبه کاسته را نشان می‌دهد.

**۴- شبیه‌سازی عددی میدان جریان**  
نمایه‌های استفاده شده برای محاسبه مودهای جریان و در نهایت بازسازی سامانه دینامیکی با استفاده از یک کد حل عددی مستقیم جریان تراکم‌ناپذیر دوبعدی که براساس یک روش حجم محدود توسعه یافته، ایجاد شده‌اند [۱۵].

## ۵- نتایج و بحث

در این قسمت به ارائه و بررسی نتیجه‌های حاصله پرداخته می‌شود. نتیجه‌ها برای جریان تراکم‌ناپذیر ناپایا حول یک سیلندر مربع شکل در  $Re = 100$  ارائه می‌شود. بهمنظور بررسی صحت نتیجه‌های حاصل از مدل رتبه کاسته، داده‌های

نadar، کمتر می‌کند. این بدین معنی است که مدل دینامیکی به قدر کافی دارای استهلاک نبوده و این افزودگی در سطح انرژی مودها باعث واگرایی در پاسخ حاصل از مدل دینامیکی شده است و افزودن این عبارت سبب می‌شود که مدل دینامیکی ارائه شده رفتار واقعی مسئله را پیش‌بینی کند. در این شرایط ترم اصلاح همچون عبارت استهلاک مصنوعی در معادله حاکم بر مدل عمل می‌کند.

## ۳-۲-۱- روش کمینه‌سازی کمترین مرباعات

روشی که برای محاسبه ضرایب ترم اصلاح خطی ارائه می‌شود استفاده از حل یک مسئله بهینه‌سازی محلی در بازه زمان بوده که توسط نویسنده‌گان پیشنهاد شده و براساس رابطه زیر است [۷]:

$$J = \sum_{r=1}^{Ng} \left[ \dot{a}^r(t) - \ddot{a}^r(t) \right]^2. \quad (9)$$

در رابطه فوق،  $\dot{a}$  مقدار تغییرات زمانی ضرایب مودال حاصل از حل عددی مستقیم است که با استفاده از یک روش جداسازی مرتبه چهارم محاسبه می‌شود.  $\ddot{a}$  مقدار تغییرات زمانی ضرایب مودال حاصل از مدل رتبه کاسته معمولی و برابر با سمت راست معادله سامانه دینامیکی (رابطه ۶) است. از آنجایی که نمایه‌های استفاده شده برای محاسبه مودهای POD از یک حل دقیق به دست آمده‌اند و فواصل زمانی آنها معادل با فواصل زمانی مدل دینامیکی است، در نتیجه با استفاده از یک کمینه‌سازی محلی نیز می‌توان به نتیجه‌های قابل قبولی دست یافت که نتیجه‌های ارائه شده در این مقاله این موضوع را به خوبی اثبات می‌کند.

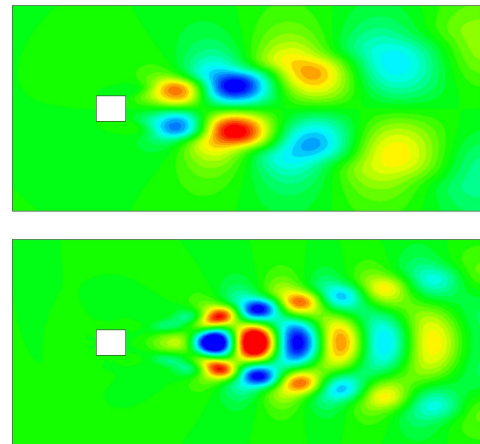
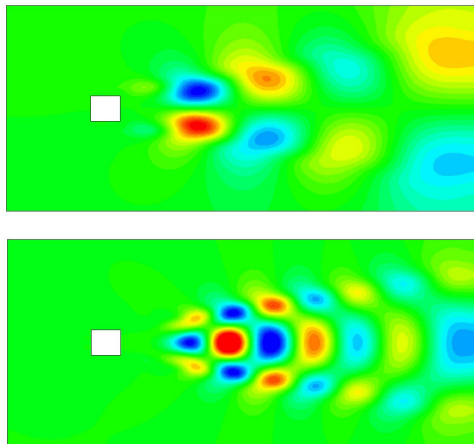
## ۳-۳- جداسازی معادله سامانه دینامیکی و محاسبه ضرایب مدل

مشتقات وابسته به ضرایب مدل رتبه کاسته (معادله ۶) با بهره‌گیری از یک روش تفاضل مركزی با دقت مرتبه دوم محاسبه می‌شوند. روش رانج - کوتای چهار مرحله‌ای مرتبه چهارم صریح برای انتگرل‌گیری زمانی معادلات مدل رتبه کاسته به کار رفته است. مطالعه پیرامون گام زمانی نشان می‌دهد که گام زمانی به کار رفته (مساوی با گام زمانی استفاده شده برای تولید نمایه‌های ورودی) برای این مسئله به

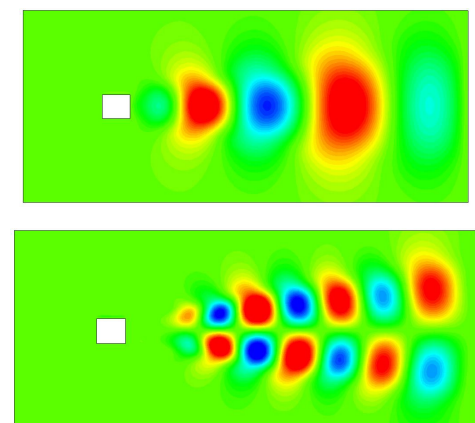
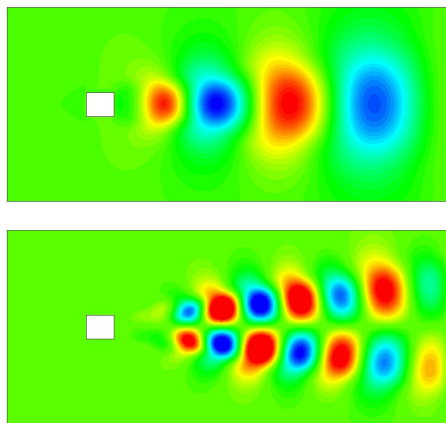
آن از نمودار تغییرات زمانی انرژی جنبشی کل میدان جریان یا ضرایب بی بعد (مانند ضریب برآ) به دست می آید. پس از انجام یک حل مقدار ویژه مودهای جریان استخراج می شوند که در شکل های ۱-۲ به ترتیب خطوط همتراز چهار مود پرانرژی تر مؤلفه افقی و عمودی سرعت نمایش داده شده است.

حاصل از مدل با نتیجه های شبیه سازی عددی مستقیم مقایسه شده اند.

یک دسته ۲۴۰ تایی از حل میدان جریان در زمان های مختلف، با گام های زمانی مساوی و در یک بازه زمانی معین به عنوان ورودی در نظر گرفته شده است. لازم به ذکر است که این بازه زمانی یک سیکل نوسانی کامل بوده است که اندازه



شکل (۱): خطوط همتراز چهار مود پرانرژی تر مؤلفه افقی سرعت.

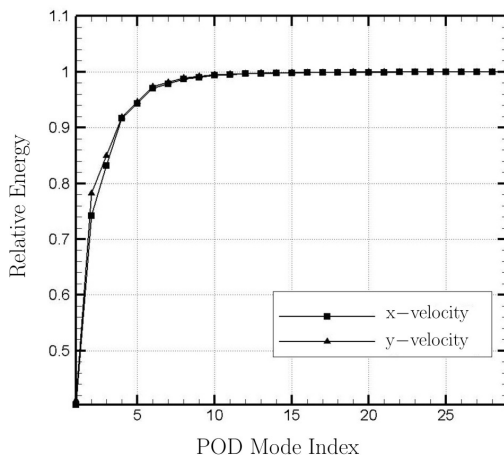


شکل (۲): خطوط همتراز چهار مود پرانرژی تر مؤلفه عمودی سرعت.

می توان گفت با توجه به روند متعامد سازی گرام - اشمیت [۴] در فضایی که بر  $(x, \varphi)$  (مودهای جریان) متعامد باشد، یک فرآیند بیشینگی به منظور محاسبه مودها تکرار می شود و در این راه یک سری توابع متعامد که همان مودهای جریان می باشند، قابل محاسبه هستند. این توابع همچون مودهای

شکل ۳-۴ به ترتیب طیف انرژی مودهای جریان برای مؤلفه افقی و عمودی سرعت را نشان می دهد. همان طور که در شکل نیز مشخص است، یک جفت شدگی<sup>۱</sup> بین مودها وجود دارد که ناشی از تقارن آنها است. در توضیح این مطلب

مقدار ضرایب مودال در اولین گام زمانی است، پیش روی زمانی با استفاده از مدل اصلاح شده انجام می‌گیرد.

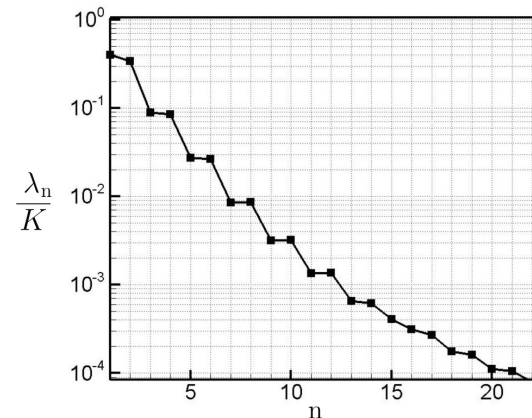


شکل (۵): انرژی نسبی مودهای POD برای مؤلفه‌های سرعت.

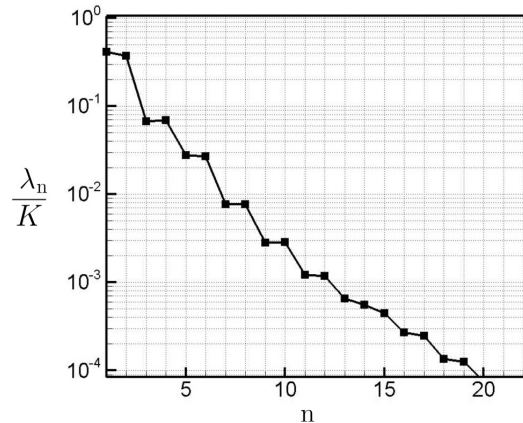
در شکل ۶ نرخ تغییرات زمانی چهار ضریب مودال اول برای مؤلفه افقی سرعت در بازه زمانی معادل با یک چرخه نوسان کامل نمایش داده شده است. همان‌طور که در شکل مشخص است، نتیجه‌های حاصل از مدل رتبه کاسته اصلاح شده از دقت بالایی در مقایسه با نتیجه‌های حاصل از حل عددی مستقیم برخوردار است.

شکل ۷ نرخ تغییرات زمانی چهار ضریب مودال اول برای مؤلفه عمودی سرعت را نشان می‌دهد که نتیجه‌های حاصل از مدل رتبه کاسته اصلاح شده دقت بسیار بالای این مدل را برای شبیه‌سازی میدان جریان ناپایا نمایش می‌دهد. در شکل ۸ تغییرات ضرایب مودال برای مؤلفه افقی سرعت در فضای فاز نمایش داده شده است. همان‌طور که در این شکل نیز مشخص است، نتیجه‌های حاصل از مدل رتبه کاسته اصلاح شده از دقت خوبی در مقایسه با نتیجه‌های حاصل از حل عددی مستقیم برخوردار است. شکل ۹ نیز تغییرات ضرایب مودال برای مؤلفه عمودی سرعت در فضای فاز را نشان می‌دهد و واضح است که نتیجه‌های حاصل از مدل رتبه کاسته اصلاح شده در مقایسه با نتیجه‌های حاصل از حل عددی مستقیم دقت مناسبی دارد.

فوریه بوده که علاوه بر تعامد دارای یک نوع تقارن<sup>۱</sup> نیز هستند.

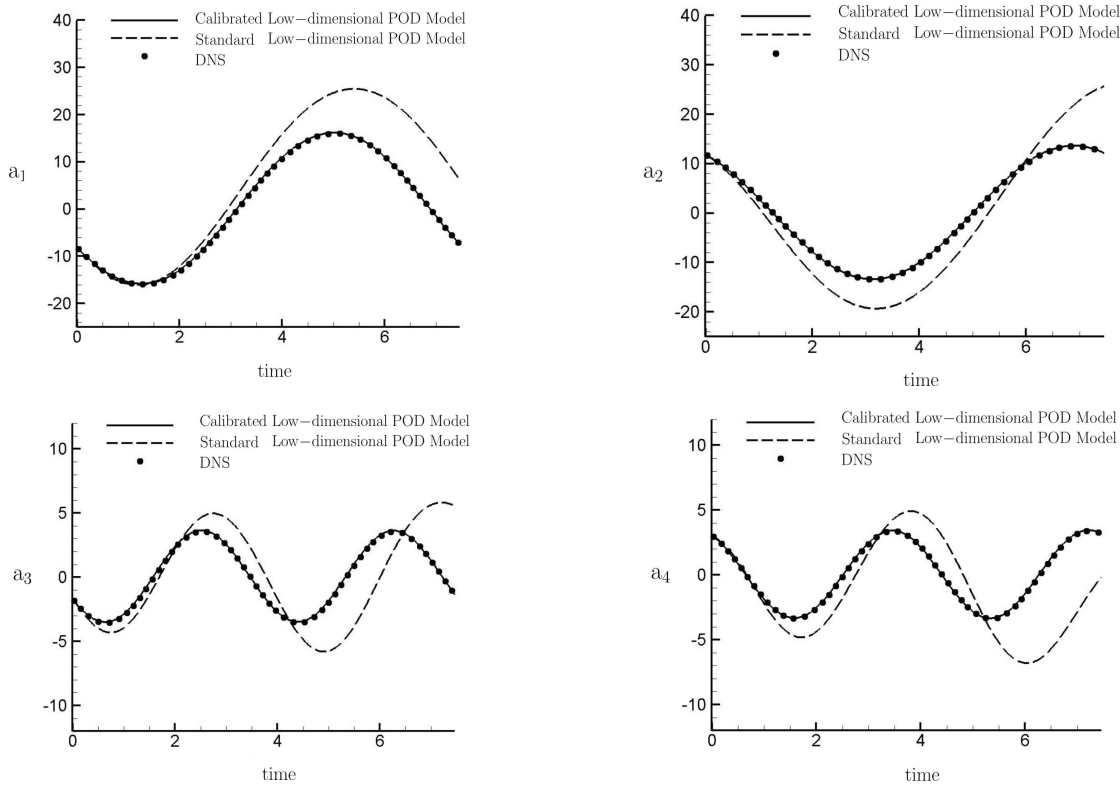


شکل (۳): طیف انرژی مودهای POD برای مؤلفه افقی سرعت.

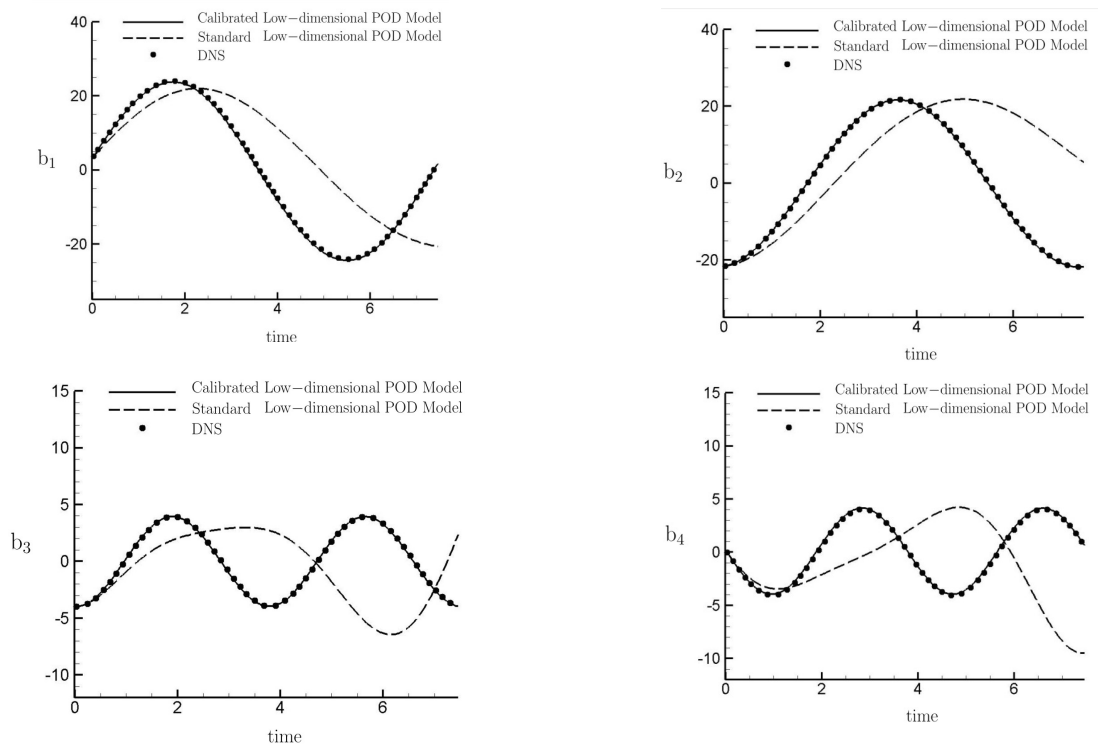


شکل (۴): طیف انرژی مودهای POD برای مؤلفه عمودی سرعت.

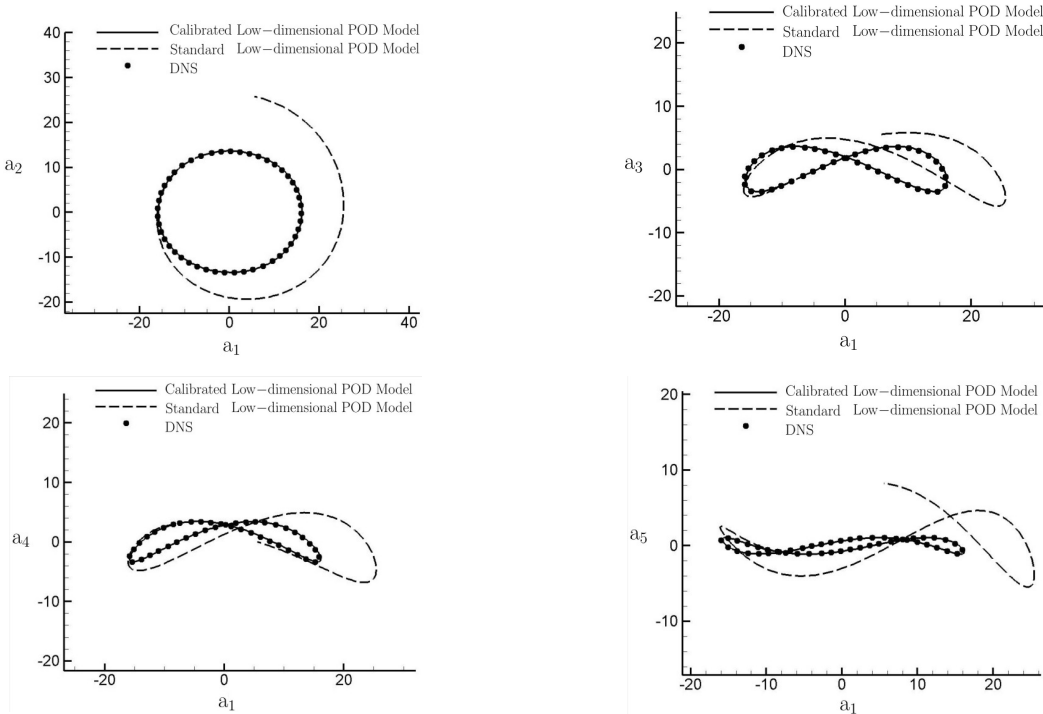
در شکل ۵ نمودار انرژی نسبی مودها برای هر دو مؤلفه سرعت یعنی میزان انرژی که تعداد خاصی از مودها از میدان تسخیر می‌کنند، نشان داده شده است. این نمودار تصویرکننده عدد سهم مودها است و با توجه به روش ارائه شده در بخش ۳-۴ تعداد مودهای مورد نیاز برای ایجاد مدل رتبه کاسته محاسبه می‌شود. برای این مسئله شش مود به منظور بازسازی مدل رتبه کاسته جهت شبیه‌سازی میدان جریان مورد استفاده قرار گرفته است. پس از بازسازی مدل رتبه کاسته به صورت یک سامانه دینامیکی و با استفاده از یک شرط اولیه که برابر با



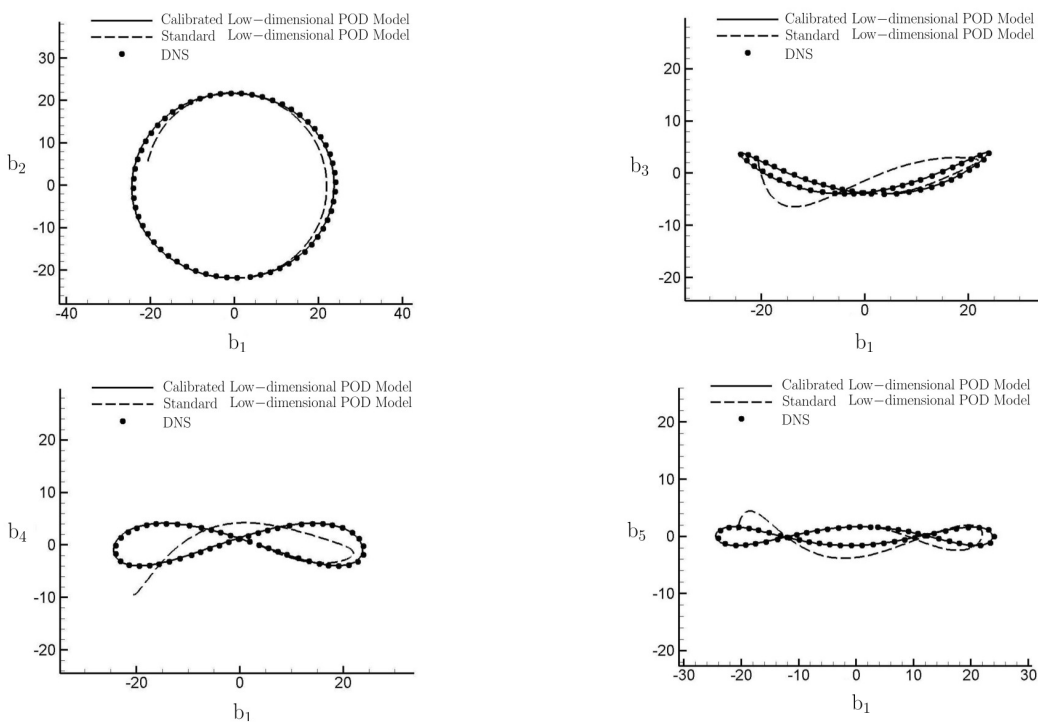
شکل (۶): مقایسه تغییرات زمانی ضرایب مودال برای معادله ممنوط در راستای  $x$  (خطوط پیوسته انTEGRال گیری از مدل دینامیکی رتبه کاسته اصلاح شده، خطچین انTEGRال گیری از مدل دینامیکی رتبه کاسته استاندارد و نقاط شبیه‌سازی عددی مستقیم).



شکل (۷): مقایسه زمانی ضرایب مودال برای معادله ممنوط در راستای  $y$  (خطوط پیوسته انTEGRال گیری از مدل دینامیکی رتبه کاسته اصلاح شده، خطچین انTEGRال گیری از مدل دینامیکی رتبه کاسته استاندارد و نقاط شبیه‌سازی عددی مستقیم).



شکل (۸): مقایسه تغییرات ضرایب مودال در فضای فاز برای معادله ممنتوم در راستای  $x$  (خطوط پیوسته انتگرال‌گیری از مدل دینامیکی رتبه کاسته اصلاح شده، خطچین انتگرال‌گیری از مدل دینامیکی رتبه کاسته استاندارد و نقاط شبیه‌سازی عددی مستقیم).

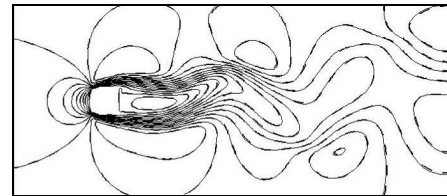


شکل (۹): مقایسه تغییرات ضرایب مودال در فضای فاز برای معادله ممنتوم در راستای  $y$  (خطوط پیوسته انتگرال‌گیری از مدل دینامیکی رتبه کاسته اصلاح شده، خطچین انتگرال‌گیری از مدل دینامیکی رتبه کاسته استاندارد و نقاط حاصل از شبیه‌سازی عددی مستقیم).

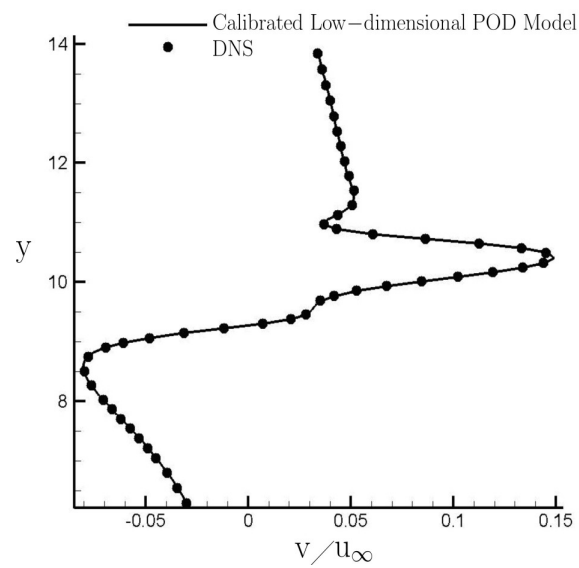
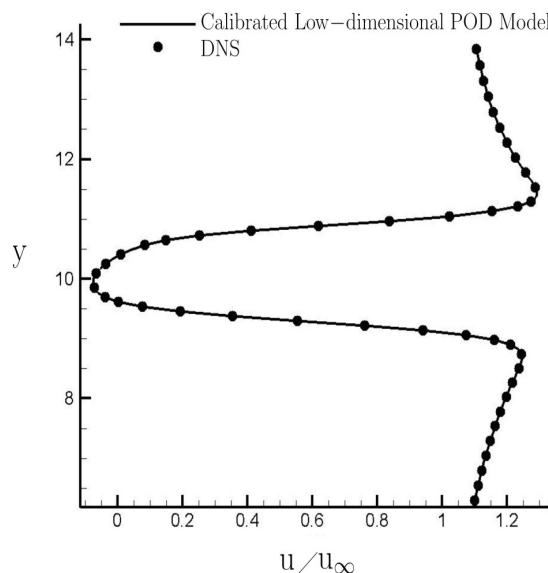
شکل ۱۱ توزیع مؤلفه افقی و مؤلفه عمودی سرعت در راستای عمود بر جریان در  $x = 0.35L$  و  $t^* = 5$  نمایش می‌دهد که  $L$  برابر با طول محدوده محاسباتی در شبیه‌سازی عددی مستقیم جریان است. لازم به ذکر است که نقطه مورد نظر در ناحیه دنباله قرار گرفته است. همان‌طور که در این شکل واضح است، نتیجه‌های حاصل از مدل رتبه کاسته اصلاح شده دقت آن را با استفاده از یک معیار کیفی اثبات می‌کند.

شکل ۱۲ مقایسه‌ای مقادیر محاسبه شده برای ضریب برا و ضریب پسا بر حسب زمان حاصل از حل عددی مستقیم و نتیجه‌های حاصل از مدل دینامیکی رتبه کاسته اصلاح شده صورت گرفته است. همان‌طور که در شکل مشخص داده‌های حاصل از مدل رتبه کاسته تطابق بسیار بالایی را در قیاس با داده‌های حاصل از حل عددی مستقیم نشان می‌دهند.

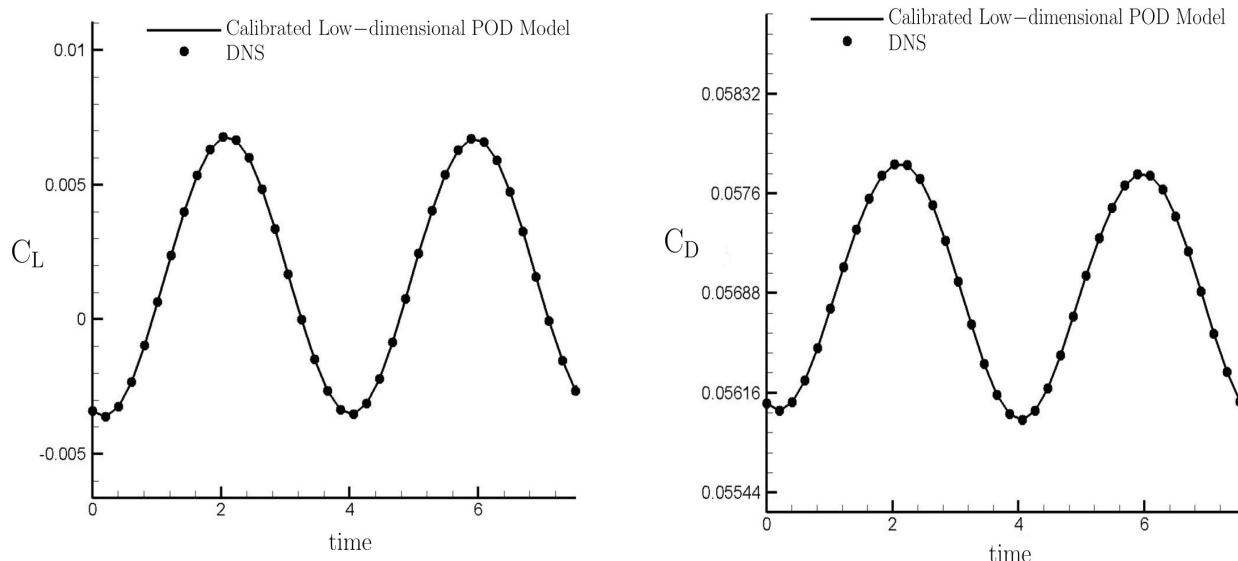
در شکل ۱۰ خطوط هم‌تراز مؤلفه افقی سرعت در زمان  $t^* = 5$  حاصل از حل عددی مستقیم و شبیه‌سازی با مدل رتبه کاسته اصلاح شده نشان داده است که دقت بسیار بالای این مدل را نشان می‌دهد.



شکل (۱۰): خطوط هم‌تراز مؤلفه افقی سرعت در  $t^* = 5$  خطوط پیوسته نتیجه‌های حاصل از انتگرال گیری از مدل دینامیکی رتبه کاسته اصلاح شده و خط‌چین حاصل از شبیه‌سازی عددی مستقیم.



شکل (۱۱): توزیع مؤلفه افقی سرعت (چپ) و مؤلفه عمودی سرعت (راست) در  $x = 0.35L$  و  $t^* = 5$ ، خط نتیجه‌های حاصل از انتگرال گیری از مدل دینامیکی رتبه کاسته اصلاح شده و نقاط حاصل از شبیه‌سازی عددی مستقیم.



شکل (۱۲): توزیع ضریب برآ (چپ) و ضریب پسا (راست) بر حسب زمان خط نتیجه‌های حاصل از انتگرال‌گیری از مدل دینامیکی رتبه کاسته اصلاح شده و نقاط حاصل از شبیه‌سازی عددی مستقیم.

و کاهش زمان چشمگیری را در مقایسه با شبیه‌سازی عددی مستقیم نشان می‌دهد.

#### مراجع

1. Everson, R. and Sirovich, L., "The Karhunen-Loeve Procedure for Gappy Data", J. Optical Society of America, Vol. 12, No. 8, pp.1657-1664, 1995.
2. Bui-Thanh, T., Damodaran, M., and Wilcox, K., "Aerodynamic Data Reconstruction and Inverse Design, Using Proper Orthogonal Decomposition", AIAA J., Vol. 42, No. 8, pp. 1505-1516, 2004.
3. Sabetghadam, F., Esfahanian, V., and Eftekhari, M., "Application of POD/SVD in Coherent Structures, Extraction of a Homogenous-Statistical Turbulent Field", The 9<sup>th</sup> Conf. on Fluid Dynamic, Shiraz Univ., Shiraz, Iran, 2004.
4. Sabetghadam, F., Taeibi-Rahni, M., and Moayyedi, M.K., "Application of Low-dimensional POD in Gappy Data Reconstruction of Unsteady Flow Fields", The 1<sup>st</sup> Iranian Aerospace Soc. Special Symp. in Unsteady Aerodyn., Sharif Univ. of Tech., Tehran, Iran 2008.
5. Taeibi-Rahni, M., Sabetghadam, F., Moayyedi, M.K., "Low-dimensional Proper Orthogonal Decomposition Modeling as a Fast Approach of Aerodynamic Data Estimation", J. Aerospace Eng., Vol. 23, No. 1, pp.44-54, 2010.

#### ۶- نتیجه‌گیری

در سال‌های اخیر فعالیت‌های قابل توجهی به منظور پیشرفت مدل‌های رتبه کاسته مبتنی بر روش تجزیه متعامد بهینه برای پیش‌بینی دقیق میدان جریان صورت گرفته است. این مقاله نیز به ارائه یک شکل جدید از مدل اصلاح سامانه‌های دینامیکی رتبه کاسته بر پایه روش تجزیه متعامد بهینه و اثبات قابلیت و توانایی آن برای مدل‌سازی دقیق جریان ناپایابی تراکم‌ناپذیر حول یک سیلندر مربع شکل می‌پردازد. در این پژوهش از روش POD-نمایه به منظور محاسبه مودهای جریان استفاده شده و با تصویرسازی معادلات ناویر-استوکس در راستای مودهای POD، سامانه دینامیکی معادل به صورت یک مسئله مقدار اولیه ایجاد شده است. برای اصلاح اثر حذف ترم فشار و میرا کردن اثرات حذف مودهای با اعداد موج بالا که سامانه دینامیکی توانایی مناسب در کاهش انرژی آنها را ندارد، از یک عبارت اصلاح خطی که با بهره‌گیری از یک روش کمینه‌سازی محلی به دست آمده، استفاده شده است. به علاوه، با استفاده از یک روند کاهش مرتبه از تعداد مود کمتری به منظور بازسازی سامانه دینامیکی استفاده شده است. از روش حاضر به منظور انتگرال‌گیری در بازه زمانی کوتاه برای مسئله مذکور بهره گرفته شده که نتیجه‌های دقیق

11. Noack, B., Papas, P., and Monkewitz, P., "The Need for A Pressure-term Representation in Empirical Galerkin Models of Incompressible Shear Flows", *J. Fluid Mech.*, 523, pp. 339-365, 2005.
12. Galletti, B., Bottaro, A., Bruneau, C.H., and Iollo, A., "Accurate Model Reduction for Transient and Forced Wakes", *European J. Mech. B/Fluids*, Vol. 26, No. 3, pp.354-366, 2007.
13. Holmes, P., Lumley, J.L., and Berkooz, G., "Turbulence, Coherent Structures, Dynamical Systems and Symmetry", Cambridge Monographs on Mech., Cambridge Univ. Press, Cambridge, 1996.
14. Sabetghadam, F., Taeibi-Rahni, M., and Moayyedi, M. K., "Gappy Low-dimensional POD: A Powerful Tool for Data Reconstruction of Unsteady Flow Fields", *CFD J.*, Vol. 17, No. 3, pp. 156-164, 2008.
15. Moayyedi, M.K., "Low-dimensional POD Simulation of Unsteady Flow Around Bodies with Arbitrary Shapes", PhD Dissertation, Dep't. of Aerospace Eng., Sharif Univ. of Tech., Tehran, Iran, 2009.
6. Taeibi-Rahni, M., Sabetghadam, F., Moayyedi, M.K., "Analysis of Compressible Flow around 2D Bodies, Using Proper Orthogonal Decomposition Methods", The 7<sup>th</sup> Iranian Aerospace Society Conf., Sharif Univ. Tech., Tehran, Iran, 2008.
7. Moayyedi, M.K., Taeibi-Rahni, M., and Sabetghadam, F., "Calibrated Low-dimensional Dynamical Model for Simulation of Unsteady Incompressible Flows", The 12<sup>th</sup> Conference on Fluid Dynamics, Noushirvani Univ. Tech., Babol, Iran, 2009.
8. Sabetghadam, F., Moayyedi, M.K., and Taeibi-Rahni, M., "A Fast Approach for Calibration of Low-dimensional Dynamical Model for Simulation of Unsteady Incompressible Flows", The 9<sup>th</sup> Iranian Aerospace Soc. Conf., Azad Univ. Science and Research Branch, Tehran, Iran, 2010.
9. Favier, J., Cordier, L., Kourta, A., and Iollo, A., "Calibrated POD Reduced-order Models of Massively Separated Flows in the Perspective of Their Control", ASME Joint U.S.-European Fluids Eng. Summer Meeting, Miami, Florida, USA, 2006.
10. Couplet, M., Basdevant, C., and Saguat, P., "Calibrated Reduced-order POD-Galerkin System for Fluid Flow Modeling", *J. Comp. Phy.* 207, pp. 192–220, 2005.

